

## 輻射의 影響을 받지 않는 高溫에서의 氣體의

### 熱傳導度 測定法에 關한 數學的 解析\*

李 載 聖\*\*

## A Mathematical Development of a Method of Measuring the Thermal Conductivity of Gases at High Temperatures Avoiding Radiation Errors

Chai-sung Lee

Dept. of Chemical Engineering, College of Engineering, Seoul National University

A method which employs the hot wire cell, but is independent of radiation, was mathematically derived by heating the wire with a sinusoidal alternating current superimposed upon a direct current. The operating conditions, under which the radiation introduces no appreciable error, were discussed as well as the inherent limitations of the method. Optimun cell design and operating conditions were suggested.

### 緒論

從前의 热線槽(Hot wire cell)는 垂直管 中心線上에 金屬線을 치고 直流로 加熱을 했었다. 이때 管內에 둔 氣體의 热傳導度는 定常狀態에 있어서의 金屬線과 管壁의 温度, 热線槽의 치수, 그리고 金屬線으로 통한 電力으로부터 計算해 볼수 있다. 그러나 温度가 오름에 따라 金屬線으로부터 管壁으로 傳達된 輻射熱에 대한 補正이 重要해지는데, 高溫에서는 金屬表面의 輻射率이라둔가吸收率이 잘 알려져 있지 않을 뿐더러, 時間과 더불어 그 값이 變動하므로 輻射로 傳達된 热에 대한 補正의 信憑性이 稀薄해져 計算되어 나온 热傳導度의 값이 애매해 진다. 이때문에 热線槽로 300°C 以上에서 氣體의 热傳導度가 測定된例는 거의 없는 것이다.

本研究의 目的是 電氣的 方法에 의하여 特히 高溫에서 適合한 氣體의 热傳導度나 또는 热擴散度(Thermal diffusivity)를 測定하는 方法을 模索하는데 있다.

白金線과 같이 温度係數가 둔 比抵抗을 가진 金屬線을 周波數  $f$  인 正弦波形 交流로 加熱하면, 供給된 電力에 該當하는 热量이 管壁으로 傳達됨으로써 하나의 定常狀態를 이루게 될것이다. 그러나 金屬線의 温度는 一定하지 않고 周波數  $2f$ 로 平均 温度  $T_1$ 의 上下로 振動을 할것이다. 단일 氣體의 热傳導度가 無限大, 即 热擴散度가 無限大라면 電力은 热로서 即刻的に 氣

體에 依하여 除去될것이므로 周波數  $2f$ 인 電力波와 温度波는 同一한 位相에 있을 것이다만, 그의 값이 有異할 경우에는 温度波는 電力波에 比하여 一定한 遷相角(Phase lag angle)을 具 位相에 있을 것이다. 本法의 原理는 理論적으로 遷相角의 兩數로 表示되는 物理的이나 또는 電氣的特性을 測定하고 事前에 만들려는 相關關係로부터 热傳導度를 計算해 내는게 있다. 이뿐만 아니라, 振動을 하고 있는 温度波의 振幅도 ی와 같이 氣體의 热傳導度 및 그밖의 物性的 函数로 表示될 것이다. 이 原리를 適用할 수 있는 또 하나의 方法으로는 理論的으론 또는 實驗的으로 温度의 振幅과 热傳導度 사이의 相關關係를 求하였다가 適用하는 温度에서의 热傳導度值가 要求되는 氣體에 適用시키는 것을 생각 할 수 있을 것이다.

本法은 Bates<sup>(1)</sup> 또는 Minter 및 Eurdy<sup>(2)</sup>의 热線槽에 대한 交流의 適用과 提同되어서는 아니 된다. 이들의 方法은 交流를 使用함으로써 電誘回路의 出力を A.C. 增幅器를 사용하여 크게 增幅함으로서 金屬線의 平均 温度를 確確하게 測定할 수 있다는 대 利點이 있을 뿐이다. 이 밖에도 氣體 및 固體의 热傳導度 測定法에 關한 여론文<sup>(3)(4)(5)(6)(7)</sup>이 많지만 眞正한 意味에서 輻射의 影响을 받지 않는 氣體의 热傳導度測定을 發展시키려고 한 試에는 稀少하다.

\*1963. 10. 21 受理

\*\*서울大學校 工科大學 化學工學科

本研究에서는 上記한 두가지의 可能한 方法을 數學적으로 解析하고 各方法을 施行하는데 대한 最適條件를 決定하였다.

### 微分方程式 및 境界條件의 誘導

半徑  $r_1$  인管의 中心線上에 半徑  $r_1$  인 白金線을 친 Fig.1 과 같은 热線槽系를 생각 하겠다. 지금 金屬線을 直流에다 交流電流를 併用하여 加熱을 하면, 金屬線에서 發生한 热量은 管內를 채우고 있는 氣體를 通한 傳導와 金屬線으로부터 管內壁으로 向하는 辐射에 의하여 除去된다. 金屬線의 温度는 交流併用으로 因하여 싸이클링(또는 振動)을 할 것인데, 時間에 따르는 이와 같은 温度의 變化를 関數形으로 나타내기 위하여 다음과 같은 假定을 세운다:

1. 金屬線은 어느 순간에서나 均一한 温度  $t_1$ 에 있다(金屬線의 徑이 작고 交流電流의 周波數가 높을 때 成立되는 條件).

2. 모든 物理的 性質이 温度와 無關係하다(溫度의 振幅이 작을 때 成立되는 條件).

3. 管內壁은 一定하고도 均一한 温度  $t_2$ 에 있다(管壁이 두껍고 定常狀態에 到達하였을 때 成立되는 條件).

4. 金屬線으로부터 辐射되는 热量은 時間과는 無關係하되 金屬線으로 집어 넣은 入力電力의 平均值에 比例한다. (辐射에 依한 热傳達量이 적고 金屬線과 管內壁 사이의 温度差에 比하여 温度의 振幅이 작을 경우에 成立되는 條件이다. A.C. 에다. D.C. 를 併用한 理由는 이 條件을 滿足시키기 위한 것이다.)

热線槽內의 氣體에 適用시킬 수 있는 傳熱偏微分方程式은 圓筒座標를 使用하여 아래와 같이 된다.

$$\frac{\partial^2 t}{\partial r^2} + \frac{1}{r} \frac{\partial t}{\partial r} = \frac{1}{\alpha} \frac{\partial t}{\partial \theta} \quad r_1 < r < r_2 \quad (1)$$

金屬線과 管內壁에 適用시킬 수 있는 境界條件은 热吸收로부터 얻을 수 있다.

即  $r=r_1$  에서는

金屬線으로의 热量의 總投入速度:

$$(i + I_0 \sin \omega \theta)^2 R$$

金屬線의 热吸收速度 :  $\pi r_1^2 c' \rho' L \frac{\partial t}{\partial \theta}$

氣體로의 热傳導速度 :  $-2\pi r_1 k L \frac{\partial t}{\partial r}$

管內壁으로 辐射되는 热傳達速度:

$$r Q' = r (i^2 + \frac{I_0^2}{2}) R$$

熱의 總投入量은 金屬線이 吸收한 热量과, 管內壁 및 氣體로 傳達된 热量을 合한 것과 같을 것이므로, 다음의 式을 얻을 수 있다.

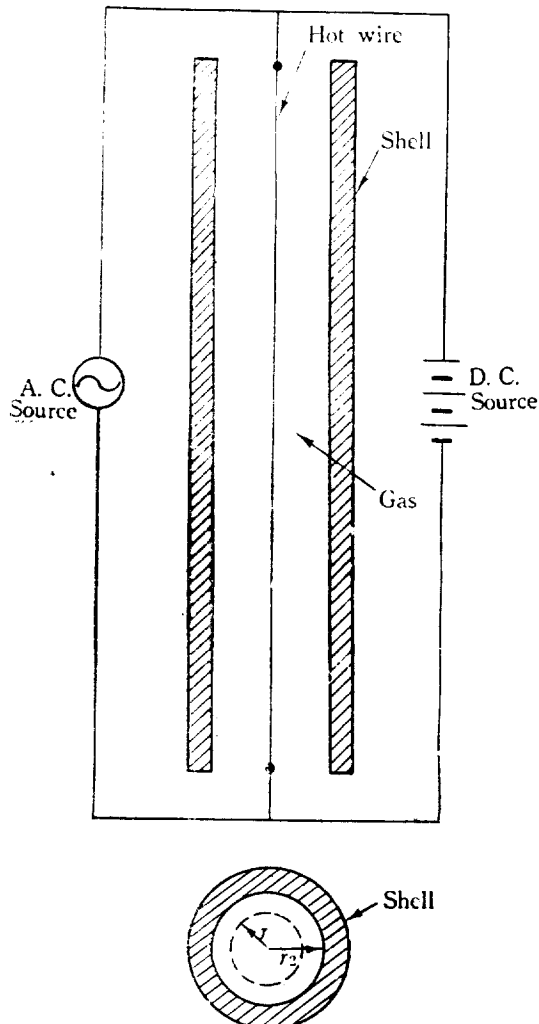


Fig.1. Hot wire cell, wire heated by A.C. and D.C.

$$(i + I_0 \sin \omega \theta)^2 R = \pi r_1^2 c' \rho' L \frac{\partial t}{\partial \theta} - 2\pi r_1 k L \frac{\partial t}{\partial r} + r (i^2 + \frac{I_0^2}{2}) R \quad (2)$$

다음 管內壁面인  $r=r_2$  일 곳에서도 定常狀態에서는 이곳을 通過해 나가는 總熱量은 傳導와 辐射로 管內壁에 達하는 热量과 같다고 놓면 아래의 式을 얻을 수 있다:

$$(1-\gamma) (i^2 + \frac{I_0^2}{2}) R = 2\pi r_2 k L \frac{\partial t}{\partial r} \quad (3)$$

境界條件 (2) 와 (3), 및前述한 假定 밑에서 偏微分方程式 (1) 을 풀면, 金屬線의 温度는 다음과 같이 時間의 関數로서 얻을 수 있다:

$$t_1 = t_2 + \frac{(i^2 + I^2)(1-i)R}{2\pi kL} \ln \frac{r_2}{r_1} + \frac{I^2 R E_3''}{\pi r_1^2 \omega c' \rho' L} \cos(2\omega\theta + \phi) + \frac{2\sqrt{2}iRE_2''}{\pi r_1^2 \omega c' \rho' L} \cos(\omega\theta + \varepsilon) \quad (4)$$

여기서  $I = Io/\sqrt{2}$  이고,  $E_3'', E_2'', \phi$ , 및  $\varepsilon$  은 金屬線과 氣體의 物理的 性質 및 裝置의 치수의 函數이며, 이들에 完全한 表現은 아래와 같이 매우 複雜한 形의 Bessel函數<sup>(8)</sup> 式으로 되어 있다:

$$(E_3'')^2 = A_1 \text{ber}\beta r_1 - A_2 \text{bei}\beta r_1 - A_3 \text{ker}\beta r_1 - A_4 \text{kei}\beta r_1 \quad (5)$$

$$(E_2'')^2 = (B_1 \text{ber}\frac{\beta r_1}{\sqrt{2}} + B_2 \text{bei}\frac{\beta r_1}{\sqrt{2}} - B_3 \text{ker}\frac{\beta r_1}{\sqrt{2}} - B_4 \text{kei}\frac{\beta r_1}{\sqrt{2}})^2 + (B_1 \text{bei}\frac{\beta r_1}{\sqrt{2}} - B_2 \text{ber}\frac{\beta r_1}{\sqrt{2}} - B_3 \text{kei}\frac{\beta r_1}{\sqrt{2}} + B_4 \text{ker}\frac{\beta r_1}{\sqrt{2}})^2 \quad (6)$$

$$\tan\phi = \frac{A_1 \text{ber}\beta r_1 - A_2 \text{bei}\beta r_1 - A_3 \text{ker}\beta r_1 + A_4 \text{kei}\beta r_1}{A_1 \text{ber}\beta r_1 - A_2 \text{bei}\beta r_1 - A_3 \text{ker}\beta r_1 - A_4 \text{kei}\beta r_1} \quad (7)$$

$$\tan\varepsilon = \frac{B_1 \text{ber}\frac{\beta r_1}{\sqrt{2}} - B_2 \text{ber}\frac{\beta r_1}{\sqrt{2}} - B_3 \text{kei}\frac{\beta r_1}{\sqrt{2}} + B_4 \text{ker}\frac{\beta r_1}{\sqrt{2}}}{B_1 \text{ber}\frac{\beta r_1}{\sqrt{2}} + B_2 \text{bei}\frac{\beta r_1}{\sqrt{2}} - B_3 \text{ker}\frac{\beta r_1}{\sqrt{2}} + B_4 \text{kei}\frac{\beta r_1}{\sqrt{2}}} \quad (8)$$

여기서

$$A_1 = \frac{\text{kei}_1 \beta r_2 [S_1 + \frac{c\rho}{c'\rho'} \frac{\sqrt{2}}{\beta r_1} S_2] - \text{ker}_1 \beta r_2 [S_3 + \frac{c\rho}{c'\rho'} \frac{\sqrt{2}}{\beta r_1} S_4]}{2(S_1^2 + S_3^2) + \frac{4\sqrt{2}}{\beta r_1} \frac{c\rho}{c'\rho'} (S_2 S_3 + S_3 S_4)} + \frac{\frac{c\rho}{c'\rho'} \frac{\sqrt{2}}{\beta r_1} S_4}{\left(\frac{2c\rho}{\beta r_1 c'\rho'}\right)^2 (S_2^2 + S_4^2)} = \frac{a \text{kei}_1 \beta r_2 - b \text{ker}_1 \beta r_2}{\Gamma} \quad (9)$$

$$A_2 = \frac{a \text{ker}_1 \beta r_2 + b \text{kei}_1 \beta r_2}{\Gamma} \quad (10)$$

$$A_3 = \frac{a \text{bei}_1 \beta r_2 - b \text{ber}_1 \beta r_2}{\Gamma} \quad (11)$$

$$A_4 = \frac{a \text{ber}_1 \beta r_2 + b \text{bei}_1 \beta r_2}{\Gamma} \quad (12)$$

$$B_1 = \frac{\text{kei}_1 \frac{\beta r_2}{\sqrt{2}} \left[ S_5 + \frac{2}{\beta r_1} \frac{c\rho}{c'\rho'} S_6 \right] - \text{ker}_1 \frac{\beta r_2}{\sqrt{2}} \left[ S_7 + \frac{2}{\beta r_1} \frac{c\rho}{c'\rho'} S_8 \right]}{(S_5^2 + S_7^2) + \frac{4}{\beta r_1} \frac{c\rho}{c'\rho'} (S_5 S_6 + S_7 S_8)} + \frac{\frac{3}{\beta r_1} \frac{c\rho}{c'\rho'} S_8}{\left(\frac{2c\rho}{\beta r_1 c'\rho'}\right)^2 (S_6^2 + S_8^2)} = \frac{c \text{kei}_1 \frac{\beta r_2}{\sqrt{2}} - d \text{ker}_1 \frac{\beta r_2}{\sqrt{2}}}{\Delta} \quad (13)$$

$$B_2 = \frac{c \text{ker}_1 \frac{\beta r_2}{\sqrt{2}} + d \text{kei}_1 \frac{\beta r_2}{\sqrt{2}}}{\Delta} \quad (14)$$

$$B_3 = \frac{c \text{ber}_1 \frac{\beta r_2}{\sqrt{2}} - d \text{bei}_1 \frac{\beta r_2}{\sqrt{2}}}{\Delta} \quad (15)$$

$$B_4 = \frac{c \text{ber}_1 \frac{\beta r_2}{\sqrt{2}} + d \text{bei}_1 \frac{\beta r_2}{\sqrt{2}}}{\Delta} \quad (16)$$

그리고

$$S_1 = \begin{cases} -\text{ker}_1 \beta r_2 \text{ber}\beta r_1 \\ +\text{kei}_1 \beta r_2 \text{bei}\beta r_1 \\ +\text{ber}_1 \beta r_2 \text{ker}\beta r_1 \\ -\text{bei}_1 \beta r_2 \text{kei}\beta r_1 \\ +\text{ker}_1 \beta r_2 (\text{bei}_1 \beta r_1 - \text{ber}_1 \beta r_1) \\ +\text{kei}_1 \beta r_2 (\text{bei}_1 \beta r_1 + \text{ber}_1 \beta r_1) \\ +\text{ber}_1 \beta r_2 (\text{ker}_1 \beta r_1 - \text{kei}_1 \beta r_1) \\ -\text{bei}_1 \beta r_2 (\text{ker}_1 \beta r_1 + \text{ker}_1 \beta r_1) \end{cases} \quad (17)$$

$$S_2 = \begin{cases} -\text{ker}_1 \beta r_2 \text{bei}\beta r_1 \\ -\text{kei}_1 \beta r_2 \text{ber}\beta r_1 \\ +\text{ber}_1 \beta r_2 \text{kei}\beta r_1 \\ +\text{bei}_1 \beta r_2 \text{ker}\beta r_2 \\ -\text{ker}_1 \beta r_2 (\text{bei}_1 \beta r_1 + \text{ber}_1 \beta r_1) \\ +\text{kei}_1 \beta r_2 (\text{bei}\beta r_1 - \text{ber}_1 \beta r_1) \\ +\text{ber}_1 \beta r_2 (\text{ker}_1 \beta r_1 + \text{kei}_1 \beta r_1) \\ +\text{bei}_1 \beta r_2 (\text{ker}_1 \beta r_1 - \text{kei}_1 \beta r_1) \end{cases} \quad (18)$$

$$S_3 = \begin{cases} -\text{ker}_1 \beta r_2 \text{bei}\beta r_1 \\ -\text{kei}_1 \beta r_2 \text{ber}\beta r_1 \\ +\text{ber}_1 \beta r_2 \text{kei}\beta r_1 \\ +\text{bei}_1 \beta r_2 \text{ker}\beta r_2 \\ -\text{ker}_1 \beta r_2 (\text{bei}_1 \beta r_1 + \text{ber}_1 \beta r_1) \\ +\text{kei}_1 \beta r_2 (\text{bei}\beta r_1 - \text{ber}_1 \beta r_1) \\ +\text{ber}_1 \beta r_2 (\text{ker}_1 \beta r_1 + \text{kei}_1 \beta r_1) \\ +\text{bei}_1 \beta r_2 (\text{ker}_1 \beta r_1 - \text{kei}_1 \beta r_1) \end{cases} \quad (19)$$

$$S_4 = \begin{cases} -\text{ker}_1 \beta r_2 \text{bei}\beta r_1 \\ +\text{kei}_1 \beta r_2 (\text{bei}\beta r_1 - \text{ber}_1 \beta r_1) \\ +\text{ber}_1 \beta r_2 (\text{ker}_1 \beta r_1 + \text{kei}_1 \beta r_1) \\ +\text{bei}_1 \beta r_2 (\text{ker}_1 \beta r_1 - \text{kei}_1 \beta r_1) \end{cases} \quad (20)$$

$$S_5 = \begin{cases} -\text{ker}_1 \frac{\beta r_2}{\sqrt{2}} \text{ bei}\frac{\beta r_1}{\sqrt{2}} \\ -\text{kei}_1 \frac{\beta r_2}{\sqrt{2}} \text{ ber}\frac{\beta r_1}{\sqrt{2}} \\ -\text{ber}_1 \frac{\beta r_2}{\sqrt{2}} \text{ kei}\frac{\beta r_1}{\sqrt{2}} \\ +\text{bei}_1 \frac{\beta r_2}{\sqrt{2}} \text{ ker}\frac{\beta r_1}{\sqrt{2}} \\ -\text{ker}_1 \frac{\beta r_2}{\sqrt{2}} (\text{bei}\frac{\beta r_1}{\sqrt{2}} + \text{ber}\frac{\beta r_1}{\sqrt{2}}) \\ +\text{kei}_1 \frac{\beta r_2}{\sqrt{2}} (\text{bei}\frac{\beta r_1}{\sqrt{2}} - \text{ber}\frac{\beta r_1}{\sqrt{2}}) \\ +\text{ber}_1 \frac{\beta r_2}{\sqrt{2}} (\text{ker}\frac{\beta r_1}{\sqrt{2}} + \text{kei}\frac{\beta r_1}{\sqrt{2}}) \\ +\text{bei}_1 \frac{\beta r_2}{\sqrt{2}} (\text{ker}\frac{\beta r_1}{\sqrt{2}} - \text{kei}\frac{\beta r_1}{\sqrt{2}}) \end{cases} \quad (21)$$

$$S_6 = \begin{cases} -\text{ker}_1 \frac{\beta r_2}{\sqrt{2}} (\text{bei}\frac{\beta r_1}{\sqrt{2}} + \text{ber}\frac{\beta r_1}{\sqrt{2}}) \\ +\text{kei}_1 \frac{\beta r_2}{\sqrt{2}} (\text{bei}\frac{\beta r_1}{\sqrt{2}} - \text{ber}\frac{\beta r_1}{\sqrt{2}}) \\ +\text{ber}_1 \frac{\beta r_2}{\sqrt{2}} (\text{ker}\frac{\beta r_1}{\sqrt{2}} + \text{kei}\frac{\beta r_1}{\sqrt{2}}) \\ +\text{bei}_1 \frac{\beta r_2}{\sqrt{2}} (\text{ker}\frac{\beta r_1}{\sqrt{2}} - \text{kei}\frac{\beta r_1}{\sqrt{2}}) \\ +\text{ker}_1 \frac{\beta r_2}{\sqrt{2}} \text{ bei}\frac{\beta r_1}{\sqrt{2}} \\ -\text{kei}_1 \frac{\beta r_2}{\sqrt{2}} \text{ ber}\frac{\beta r_1}{\sqrt{2}} \\ -\text{ber}_1 \frac{\beta r_2}{\sqrt{2}} \text{ kei}\frac{\beta r_1}{\sqrt{2}} \\ -\text{bei}_1 \frac{\beta r_2}{\sqrt{2}} \text{ ker}\frac{\beta r_1}{\sqrt{2}} \end{cases} \quad (22)$$

$$S_7 = \begin{cases} -\text{ker}_1 \frac{\beta r_2}{\sqrt{2}} (\text{bei}\frac{\beta r_1}{\sqrt{2}} + \text{ber}\frac{\beta r_1}{\sqrt{2}}) \\ -\text{kei}_1 \frac{\beta r_2}{\sqrt{2}} \text{ ber}\frac{\beta r_1}{\sqrt{2}} \\ -\text{ber}_1 \frac{\beta r_2}{\sqrt{2}} \text{ kei}\frac{\beta r_1}{\sqrt{2}} \\ -\text{bei}_1 \frac{\beta r_2}{\sqrt{2}} \text{ ker}\frac{\beta r_1}{\sqrt{2}} \\ -\text{ker}_1 \frac{\beta r_2}{\sqrt{2}} (\text{bei}\frac{\beta r_1}{\sqrt{2}} - \text{ber}\frac{\beta r_1}{\sqrt{2}}) \\ -\text{kei}_1 \frac{\beta r_2}{\sqrt{2}} (\text{bei}\frac{\beta r_1}{\sqrt{2}} + \text{ber}\frac{\beta r_1}{\sqrt{2}}) \\ -\text{ber}_1 \frac{\beta r_2}{\sqrt{2}} (\text{ker}\frac{\beta r_1}{\sqrt{2}} - \text{kei}\frac{\beta r_1}{\sqrt{2}}) \\ +\text{bei}_1 \frac{\beta r_2}{\sqrt{2}} (\text{ker}\frac{\beta r_1}{\sqrt{2}} + \text{kei}\frac{\beta r_1}{\sqrt{2}}) \end{cases} \quad (23)$$

$$S_8 = \begin{cases} -\text{ker}_1 \frac{\beta r_2}{\sqrt{2}} (\text{bei}\frac{\beta r_1}{\sqrt{2}} - \text{ber}\frac{\beta r_1}{\sqrt{2}}) \\ -\text{kei}_1 \frac{\beta r_2}{\sqrt{2}} (\text{bei}\frac{\beta r_1}{\sqrt{2}} + \text{ber}\frac{\beta r_1}{\sqrt{2}}) \\ -\text{ber}_1 \frac{\beta r_2}{\sqrt{2}} (\text{ker}\frac{\beta r_1}{\sqrt{2}} - \text{kei}\frac{\beta r_1}{\sqrt{2}}) \\ +\text{bei}_1 \frac{\beta r_2}{\sqrt{2}} (\text{ker}\frac{\beta r_1}{\sqrt{2}} + \text{kei}\frac{\beta r_1}{\sqrt{2}}) \end{cases} \quad (24)$$

이상으로부터  $E_3'', E_2'', \phi$ , 및  $\varepsilon$  은 다음과 같은 無次元比의 函數로 表現되어 있음을 알 수 있다.

$$E_3'' = F_1 \left[ \left( \frac{\omega r_1^2}{\alpha} \right), \left( \frac{c\rho'}{c\rho} \right), \left( \frac{r_2}{r_1} \right) \right] \quad (25)$$

$$E_2'' = F_2 \left[ \left( \frac{\omega r_1^2}{\alpha} \right), \left( \frac{c' \rho'}{c \rho} \right), \left( \frac{r_2}{r_1} \right) \right] \quad (26)$$

$$\phi = F_3 \left[ \left( \frac{\omega r_1^2}{\alpha} \right), \left( \frac{c' \rho'}{c \rho} \right), \left( \frac{r_2}{r_1} \right) \right] \quad (27)$$

$$\varepsilon = F_4 \left[ \left( \frac{\omega r_1^2}{\alpha} \right), \left( \frac{c' \rho'}{c \rho} \right), \left( \frac{r_2}{r_1} \right) \right] \quad (28)$$

여기서 이를 無次元比는 어느 것일지 라도 輻射와는 關係가 없고 式(4)의 對數項의 係數에만 輻射가 關係 있음을 알 수 있다. 이 事實은 매우 重要한 것이며 上記한 네 가지의 量中 어느 하나와, 要求되는 物理的 性質과 裝置의 차수를 알므로서 供試氣體의 热擴散度  $\alpha$ 의 値을 計算할 수가 있다. 이때前述한 바와 같은 假定들이 滿足되는 條件에서 操作하는 以上, 金屬線으로부터 管壁으로 가는 輻射熱에 대한 补正을 하지 않아도 热傳導度를 求할 수 있다.

### 溫度波의 振幅과 位相角의 測定

無次元比의 函數인  $E_3''$ ,  $E_2''$ ,  $\phi$ , 및  $\varepsilon$ 를 測定하는 電氣的方法을 이제 展開해 보겠다. 여태 까지의 式의 誘導에 있어서는 热線槽에 使用한 金屬線의 抵抗이 一定하다고 假定하였다. 그러나 이제는 金屬線의 溫度와 振幅範圍內에서 金屬線의 抵抗은 溫度變化에 대하여 直線的으로 變化한다고 하겠다. 그러면

$$R = Ro(1 + st_1) \quad (29)$$

임데, 여기서  $Ro$ 는  $R$ 를  $t=0^\circ\text{C}$ 까지 外插한 値이다. 金屬線에서 이루어지는 電壓降下는

$$E = (i + Iosin\omega\phi)R = (i + Iosin\omega\phi)Ro(1 + st_1) \quad (30)$$

와 같이 表現되는데, 이것을 式(4)와 結付시키면, 아래의 式을 얻는다:

$$\begin{aligned} E &= (iRo + \sqrt{2}IRosin\omega\phi) \left\{ 1 + st_2 \right. \\ &\quad \left. - \frac{(I^2 + I^2)(1 - \gamma)\bar{R}s \ln \frac{r_2}{r_1}}{2\pi kL} - \frac{\sqrt{2}s\bar{R}RoI^3E_3''}{2\pi r_1^2\omega c'\rho'L} \sin(\omega t) \right. \\ &\quad \left. + \phi \right) - \frac{2I^2RRosE_2''}{2\pi r_1^2\omega c'\rho'L} \sin s \\ &\quad + \frac{\sqrt{2}s\bar{R}RoI^3E_3''}{2\pi r_1^2\omega c'\rho'L} \sin(3\omega t + \varepsilon) \\ &\quad \left. + \frac{2I^2\bar{R}RosE_2''}{\pi r_1^2\omega c'\rho'L} \sin(2\omega t - \varepsilon) \right\} \end{aligned} \quad (31)$$

이것을 보면 金屬線에서 일어나는 電壓降下는 直流成分, 基本波成分, 第2, 및 第3高調波成分 등으로 構成되어 있음을 알 수 있다. 지금 第2 및 第3高調波의 振幅을 각각  $E_2$  및  $E_3$ 이라고 놓면,

$$E_2'' = \frac{E_2 \pi r_1^2 c' \rho' L \omega}{2I^2 R^2} \left( \frac{1}{s} + \tilde{t} \right) \quad (32)$$

$$E_3'' = \frac{E_3 \sqrt{2} \pi r_1^2 c' \rho' L \omega}{I^2 R^2} \left( \frac{1}{s} + \tilde{t} \right) \quad (33)$$

와 같은 表現을 얻는다. 式(31)에서  $\varepsilon$ 와  $\phi$ 는 각각 電壓降下의 第2 및 第3高調波成分의 位相角(Phase angle)을 나타내고,  $\tilde{t}$ 는 金屬線의 平均溫度,  $R$ 은 溫

度  $\tilde{t}$ 에 있어서의 抵抗値를 나타낸다.

以上的 理論的 取扱에 있어서 第2 및 第3高調波의 電壓成分의 振幅을 채거나, 또는 이들에 該當되는 位相角을 채면 金屬線으로부터 管壁으로 가는 輻射熱의 영향을 받지 않고서 氣體의 热傳導度를 求할 수가 있음을 알 수 있다.

애초에 直流는 사용치 않고 正弦波形의 交流만을 사용하여 本解析을 試圖하였다. 이 경우는  $i=0$ 이므로 出力電壓의 第2高調波成分이 나타나지 않고,  $\pi-\phi$ 가 溫度波相이 電力波相으로부터 떨어져 있는 遲相角(Phase lag angle)을 나타낸다는 것을 容易하게 할 수 있다. 이때의  $E_3''$  및  $\phi$ 의 値을 IEM Electronic Data Processing Machine-Type 701을 사용하여 열자리의 有效數字까지 計算하여 그의 有效部分을 Table I과 II에 주었고, 또 Fig.2로부터 8에다 各樣으로 轉換하였다. 그러나 測定裝置의 電氣的回路의 複雜性을 超하기 為하여는 直流를 併用하여 第2高調波를 使用하는 편이 有利할 것이며, 이 경우에는 數值計算을 하지 않았기 때문에 現在로서는 實驗的으로 求한 补正曲線을 사용하여 애될 것이다.

Fig.6은  $r_1/r_2$ 의 實用的比의 値인 0.007에서  $(\beta r_2)^2$ 의 値이 4인附近에서  $E_3''$ 의  $\alpha$ 의 變化에 根據 銳敏하게 變化한다는 것을 나타낸다.  $(\beta r_2)^2$ 의 値이 2以上에서는 애초의 假定이 充分히 成立된다.  $E_2''$ 는 實際로 計算은 안하였지만 이 見地에서 볼때는 比較적 合한 것으로 보인다. 加熱用 交流電流에는 틀림없이 第3高調波成分이 들어 있을 것이므로 金屬線으로 통하기 前에 이것을 滤過하여 除去하여야 한다. 그러나 이 第3高調波는 實測에서 나오는  $\phi$ 의 値이 理論的 补正值와 일마나 다르게 나오는 가를 測定하는데 하나의 基準으로 使用할 수가 있는 것으로서 有用하게 될 것이다.

### 計算值와 圖表의 解析

$\beta r_2$  ( $\beta = \sqrt{2\omega/\alpha}$ ),  $r_1/r_2$ , 및  $c'\rho'/c\rho$ 의 여러 値에 있어서의 無次元比의 函數인  $E_3''$ 과 遲相角  $A - \pi - \phi$ 를 計算하여  $r_1/r_2$  및  $c'\rho'/c\rho$ 를 파라메타로 하여 [ $E_3'' - \max(E_3'')$ ]對  $\beta r_2$ 나 또는 [ $A_{\max} - A$ ]對  $\beta r_2$ 의 曲線을 만들어 Fig.2에서 부터 5에 나타내었다.  $E_3''$ 과  $A$ 의 値 및 그들의 差을  $\beta r_2$ 의 値이 0일 때 0이 된다는 事實도 考慮되었고, 또  $\beta r_1$ 의 値이 0.01보다 작은 値에 대한 Bessel函數值 (9, 10)가 주어져 있지 않기 때문에 變數의 値이 이 値보다 작은範圍에 有する 경우의 計算은 하지 않았다. 그러나 實은 이와 같이 낮은 値의  $\beta r_1$ 이란 것은 極端의으로 金屬線을 使用함을 意味하거나, 또는 매우 낮은 周波數의 加熱用

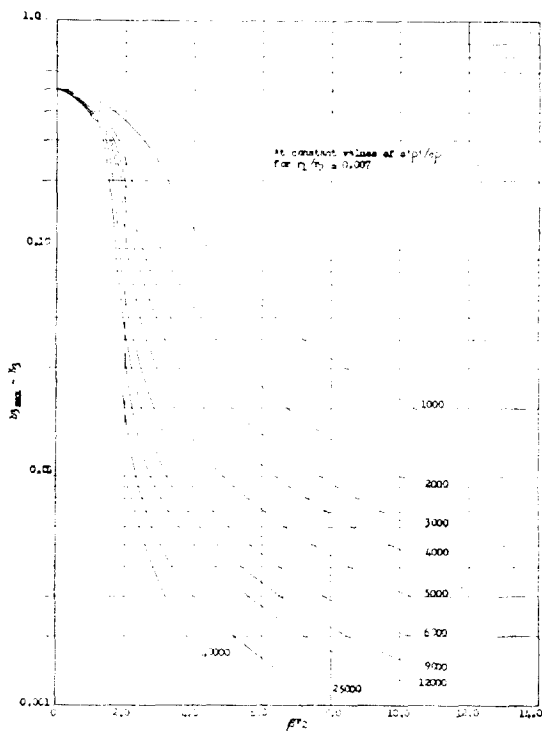


Fig.2  $(E_{3''\max} - E_{3''})$  vs.  $\beta r_2$  for  $r_1/r_2=0.007$ .

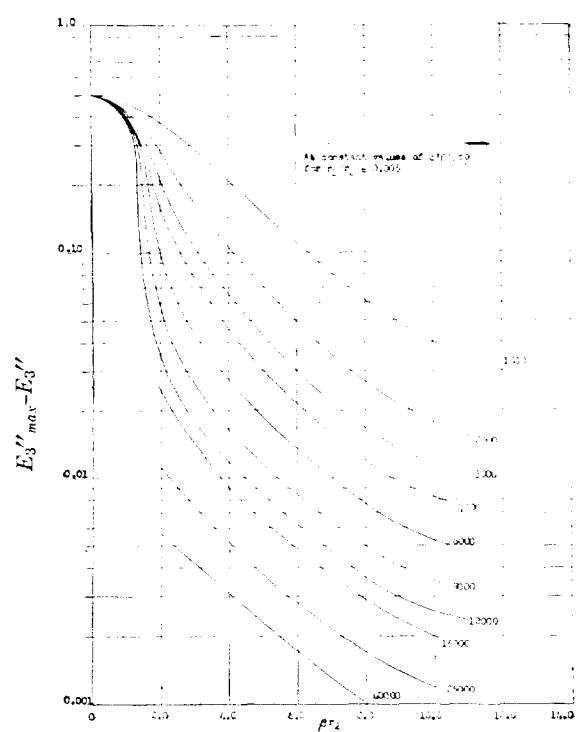


Fig.3  $(E_{3''\max} - E_{3''})$  vs.  $\beta r_2$  for  $r_1/r_2=0.005$ .

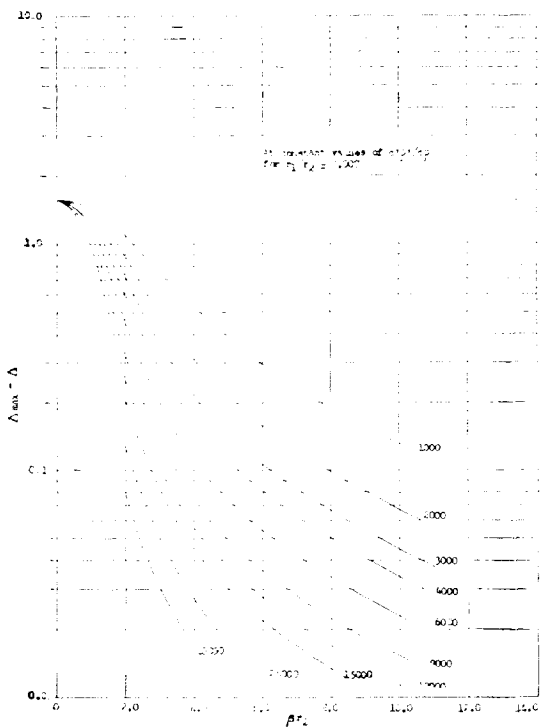


Fig.4  $(J_{\max} - J)$  vs.  $\beta r_2$  for  $r_1/r_2=0.007$ .

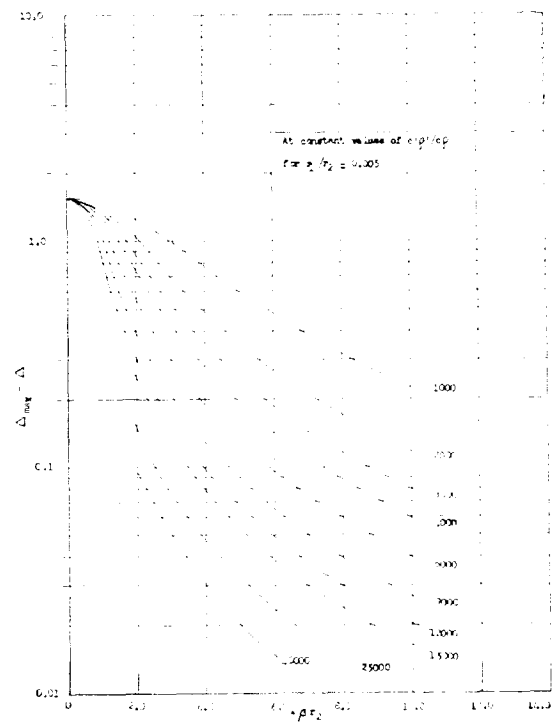


Fig.5  $(J_{\max} - J)$  vs.  $\beta r_2$  for  $r_1/r_2=0.005$ .

Table I. Calculated Values of  $E_3''$  (Dimensionless Amplitude of the Third Harmonic of the Voltage across the Wire).

			$E_3''$ at various values of $c'\rho'/c\rho$									
$r_1/r_2$	$\beta r_2$	$\beta r_1$	$\frac{c'\rho'}{c\rho} = 1000$	2000	3000	4000	6000	9000	12000	15000	25000	40000
0.002	10.00	0.200	0.2912	0.3949	0.4353	0.4548	0.4728	0.4834	0.4882	0.4909	0.4948	0.4968
	8.00	0.016	0.2091	0.3260	0.3857	0.4186	0.4510	0.4707	0.4796	0.4845	0.4915	0.4950
	6.00	0.012	0.1415	0.2456	0.3151	0.3607	0.4124	0.4474	0.4637	0.4727	0.4856	0.4918
0.004	1.000	0.040	0.4389	0.4734	0.4834	0.4881	0.4924	0.4951	0.4964	0.4972	0.4983	0.4990
	8.00	0.032	0.4050	0.4586	0.4747	0.4820	0.4887	0.4928	0.4947	0.4959	0.4976	0.4985
	6.00	0.024	0.3371	0.4240	0.4538	0.4677	0.4803	0.4878	0.4912	0.4932	0.4961	0.4976
	4.00	0.016	0.2099	0.3266	0.3863	0.4190	0.4513	0.4710	0.4798	0.4846	0.4916	0.4951
0.005	10.00	0.050	0.4600	0.4822	0.4887	0.4918	0.4947	0.4965	0.4974	0.4980	0.4988	0.4992
	8.00	0.040	0.4389	0.4734	0.4834	0.4881	0.4924	0.4951	0.4964	0.4971	0.4983	0.4990
	6.00	0.030	0.3909	0.4514	0.4702	0.4788	0.4867	0.4916	0.4938	0.4952	0.4972	0.4983
	4.00	0.020	0.2918	0.3954	0.4357	0.4551	0.4730	0.4836	0.4883	0.4910	0.4949	0.4969
	2.00	0.010	0.1217	0.2214	0.2945	0.3457	0.4062	0.4474	0.4660	0.4759	0.4889	0.4944
0.007	10.00	0.070	0.4780	0.4898	0.4934	0.4951	0.4968	0.4979	0.4984	0.4987	0.4993	0.4995
	8.00	0.056	0.4673	0.4852	0.4906	0.4931	0.4955	0.4971	0.4978	0.4983	0.4990	0.4994
	6.00	0.042	0.4440	0.4755	0.4847	0.4889	0.4929	0.4954	0.4966	0.4973	0.4984	0.4990
	4.00	0.028	0.3772	0.4455	0.4670	0.4767	0.4956	0.4910	0.4935	0.4949	0.4970	0.4982
	2.00	0.014	0.1369	0.2370	0.3045	0.3496	0.4021	0.4390	0.4569	0.4670	0.4820	0.4895
0.010	10.00	0.100	0.4875	0.4940	0.4961	0.4971	0.4981	0.4987	0.4990	0.4992	0.4995	0.4997
	8.00	0.080	0.4823	0.4917	0.4946	0.4960	0.4974	0.4983	0.4987	0.4990	0.4994	0.4996
	6.00	0.060	0.4713	0.4869	0.4916	0.4938	0.4960	0.4974	0.4980	0.4981	0.4991	0.4994
	4.00	0.040	0.4394	0.4737	0.4836	0.4882	0.4923	0.4952	0.4964	0.4972	0.4983	0.4990
	2.00	0.020	0.2803	0.3864	0.4293	0.4503	0.4699	0.4816	0.4859	0.4899	0.4943	0.4965

Table II. Calculated Values of Phase Lag  $\angle$  of Third Harmonic Voltage  $E_3$  behind the A.C. Current.

			$\angle$ at various values of $c'\rho'/c\rho$									
$r_1/r_2$	$\beta r_2$	$\beta r_1$	$\frac{c'\rho'}{c\rho} = 1000$	2000	3000	4000	6000	9000	12000	15000	25000	40000
0.002	10.00	0.020	0.8002	1.078	1.2164	1.2954	1.3812	1.4420	1.4733	1.4924	1.5234	1.5411
	8.00	0.016	0.6037	0.8754	1.0409	1.1469	1.2709	1.3637	1.4139	1.4435	1.4934	1.5221
	6.00	0.012	0.4519	0.6747	0.8395	0.9602	1.1185	1.2492	1.3225	1.3690	1.4470	1.4925
0.004	10.00	0.040	1.2537	1.4018	1.4561	1.4840	1.5125	1.5317	1.5414	1.5427	1.5566	1.5619
	8.00	0.032	1.1275	1.3255	1.4024	1.4428	1.4844	1.5128	1.5271	1.5358	1.5497	1.5576
	6.00	0.024	0.9212	1.1805	1.2959	1.3594	1.4267	1.4734	1.4973	1.5117	1.5352	1.5485
	4.00	0.016	0.6031	0.8754	1.0412	1.1472	1.2712	1.3640	1.4133	1.4437	1.4936	1.5229
0.005	10.00	0.050	1.3465	1.4539	1.4919	1.5113	1.5309	1.5441	1.5507	1.5547	1.5611	1.5648
	8.00	0.040	1.2534	1.4018	1.4561	1.4840	1.5125	1.5317	1.5414	1.5572	1.5566	1.5619
	6.00	0.030	1.0919	1.3015	1.3850	1.4292	1.4750	1.5064	1.5223	1.5319	1.5474	1.5561
	4.00	0.020	0.8001	1.0792	1.2167	1.2957	1.3815	1.4422	1.4735	1.4926	1.5235	1.5411
	2.00	0.010	0.3137	0.5258	0.6965	0.8295	1.0134	1.1718	1.2625	1.3203	1.4174	1.4741
0.007	10.00	0.070	1.4401	1.5040	1.5260	1.5370	1.5482	1.5557	1.5595	1.5617	1.5654	1.5674
	8.00	0.056	1.3823	1.4733	1.5052	1.5213	1.5377	1.5486	1.5542	1.5575	1.5628	1.5658
	6.00	0.042	1.2750	1.4138	1.4644	1.4903	1.5168	1.5350	1.5436	1.5490	1.5577	1.5626

4.00	0.028	1.0361	1.2651	1.3590	1.4091	1.4612	1.4970	1.5152	1.5262	1.5439	1.5540	
2.00	0.014	0.4950	0.7051	0.8603	0.9745	1.1256	1.2520	1.3236	1.3694	1.4466	1.4921	
0.010	10.00	0.100	1.4976	1.5338	1.5460	1.5522	1.5583	1.5625	1.5646	1.5658	1.5678	1.5689
8.00	0.080	1.4656	1.5173	1.5349	1.5438	1.5528	1.5587	1.5618	1.5636	1.5664	1.5681	
6.00	0.060	1.4030	1.4845	1.5127	1.5271	1.5415	1.5512	1.5561	1.5590	1.5637	1.5664	
4.00	0.040	1.2540	1.4021	1.4563	1.4842	1.5126	1.5318	1.5415	1.5473	1.5567	1.5620	
2.00	0.020	0.7823	1.0599	1.2003	1.2819	1.3713	1.4350	1.4679	1.4881	1.5207	1.5394	

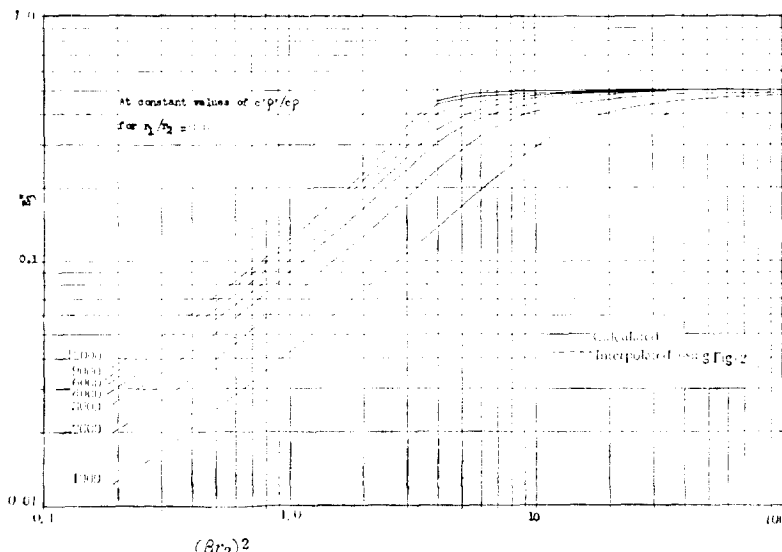


Fig.6  $E_3''$  vs.  $(\beta r_2)^2$

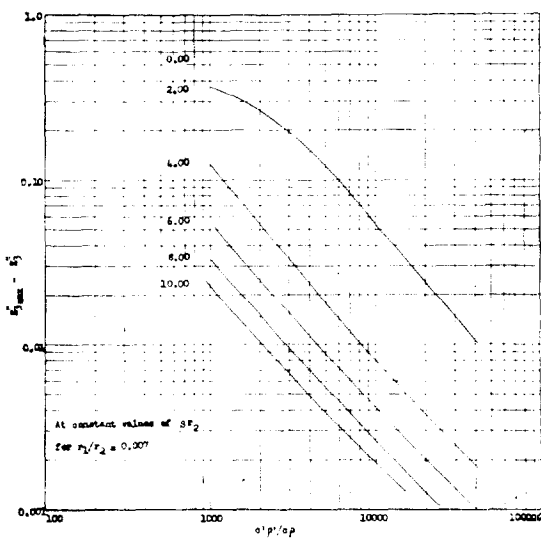


Fig.7  $(E_3''_{max} - E_3'')$  vs.  $\frac{c'\rho'}{cp}$ .

電流를 意味하며, 그 結果 金屬線의 [溫度變化의] 振幅이 커져 예초의 假定에 抵觸이 되므로 使用하지 않을 것이다.

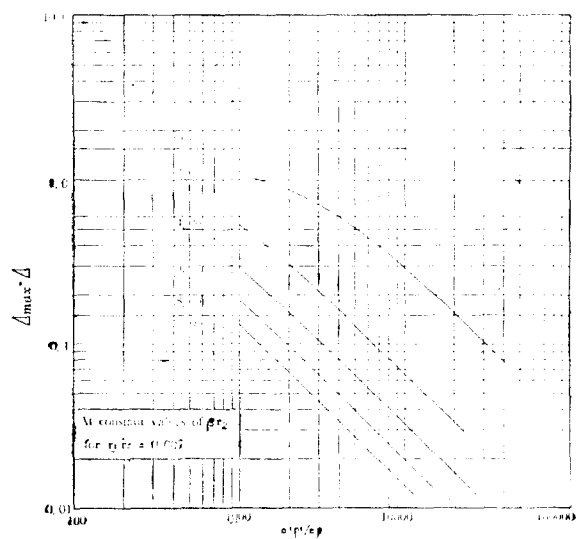


Fig.8  $(A_{max} - A)$  vs.  $\frac{c'\rho'}{cp}$ .

計算值와 그라프로부터 다음과 같은 結論을 이끌어 볼 수 있다.

(1)  $\beta r_2$  가 增加함에 따라  $E_3''$ 은 極限에 있어서 1/2

로近接하고  $\Delta$ 는  $\pi/2$ 라디안 ( $90^\circ$ )으로近接한다. 이 것은 또  $c'\rho'/cp$ 가無限大로됨에따라서도 같은極限值를取한다.

(2) 高溫 및常壓以下の低壓에 있어서는 ( $c'\rho'/cp$ 의 큰값을意味함),  $E_3''$ 은熱傳導度測定에充分하리만큼  $\beta r_2$ 의變化에따르는感度를크게나타내어준다. 특히이와같은感度는高壓 및中間temperature에서의氣體에 대하여도利用할수가있을것이다.

(3) 高溫에 있어서는  $r_1/r_2$ 의 0.007인값부근에서  $\beta r_2$ 가 1.5로부터 3까지의範圍에서는熱傳導度를 1~2%以內에서測定할수있을정도로  $\beta r_2$ 에대한遲相角의感度가銳敏하다. 그러나上記한條件은普通氣體에 대하여加熱用交流電流의周波數가상당히낮아야한다는制限을받게한다. 만일電力線으로부터의電氣의干渉에의한障碍가問題되지않는다면空氣에 대하여는 60サイ클의交流를使用할수가있을것이다.

### 交流對直流의最適電流比

實驗裝置의設計와操作이라는實際的인見地에서 불때는直流를併用하지않고正弦波의交流만을使用하는편이 가장便利할것이다. 그러나이경우에서最適操作條件下에서의金屬線의temperature의振幅이金屬線과管內壁사이의平均temperature差의30~80%나된다는計算이나온다. 이렇게되면輻射熱의瞬間值가一定하고, 또그것이金屬線으로注入된電力의average值에比例한다는애초의假定이成立할수가없게되어, 또앞서말한無次元比의값들은輻射의영향에대한修正를받아야하게될것이다.

直流電流를交流와併用하는理由는實로이temperature의振幅을金屬線과管內壁사이의average temperature差에比하여아주직게 만들기위한데에있다. 이交流對直流의電流比를定하는데대한制限은아래와같다:

(1) 出力電壓의第3高調波成分은正確하게질수있으리만큼커야한다. 따라서交流電流에는어느最下值가있을것이다.

(2) 모든物理的性質이一定하다고假定하였으므로金屬線과管內壁사이의temperature는될수있는대로작은편이어야한다. 나아서交流電流를操作上便利한最下值에定해놓은 다음併用하는直流電流를制限하여金屬線에注入되는總電力入量을적은값으로하여야한다.

交流電流를어느最下值以下로떨어뜨리지않으면서交流에대한直流電流의比를높이維持하여金屬線과管內壁사이의temperature差를작게만든다는것은二律背反되는試圖인것이다. 그러나本測定法에 있어서

는上記한制限에대하여可能한最大限度의順應을보였다고할수있는交流對直流의比의값을適當히定한다는것이絕對로必要한것으로되어있다. 實效交流電流에대한直流의比의最適值는平均temperature差를約40°C정도로만드는5정도로보는것이無難할것이다. 이때의第3高調波의最低實效電壓值는 $10^{-6}\sim 10^{-5}$ volts의範圍内에들게된다.

### 輻射에對한假定의檢討

$E_3'', E_2'', \phi$ , 및  $\varepsilon$ 이金屬線으로부터管內壁으로가는輻射熱과는無關하다는論을내는데에는輻射熱量이一定하고또平均電力入量에比例한다는假定이必要하였으므로, 이假定이成立시킬수있는가를檢討해볼必要가있다. 이境界值問題에關한 좀더嚴密한풀이를얻으려면輻射가Stefan-Boltzmann의法則에따라temperature와關係를갖고있다는事實을想起하면된다. 따라서다음의式을얻게된다:

$$q_r = F_A F_E (2\pi r_1 L) (T_1^4 - T_2^4) \\ = \sigma F_A F_E T_2^3 [1 + \frac{T_1}{T_2} + \left(\frac{T_1}{T_2}\right)^2 \\ + \left(\frac{T_1}{T_2}\right)^3] (2\pi r_1 L) (t_1 - t_2) \quad (34)$$

만일金屬線의temperature의振幅이金屬線과管內壁과의average temperature差의2%라고하면,  $\sigma F_A F_E T_2^3 [1 + (T_1/T_2) + (T_1/T_2)^2 + (T_1/T_2)^3]$ 가一定하고熱傳達係數,  $h$ 와같다고생각하였을때의 $q_r$ 에대한最大誤差는0.15%정도이라는것도알수있다. 앞서나온金屬線에대한熱收支式

$$N \frac{\partial t}{\partial r} - N \frac{\partial t}{\partial \theta} = (i + I_0 \sin \omega \theta)^2 R - r Q' \quad (2)$$

는더嚴密히나루기위하여다음과같이修正할수가있다:

$$N \frac{\partial t}{\partial r} - N \frac{\partial t}{\partial \theta} = (i + I_0 \sin \omega \theta)^2 R - r Q' \left( \frac{t_1 - t_2}{t_1 + t_2} \right) \quad (35)$$

여기서  $(q_r)_{av.} = r Q' h N (t_1 - t_2)$ 이고,  $q_r = h N (t_1 - t_2)$ 이다.

만일式(35)를正確한熱收支式이라고看做한다면,熱收支方程式(2)의左邊의最大誤差는,金屬線temperature의振幅이average temperature差의大略2%이고, 또總電力入量中輻射로傳達된heat이全heat의1/5보다도작을경우에는, 0.05%未達일것이다. 더욱이誤差는 $r$ 과 $\theta$ 를包含하는모든項에分散配定될것이므로遲相角 $\Delta$ 나또는第3高調波의振幅 $E_3$ 에配定된誤差는無視할수가있을것이다.

그러나만일輻射의영향에대한 어떤修正이꼭必要하게될경우에는 $h$ 의값과 $r_1$ 의真正한average值을正確하게決定할수가없으므로, 그것을理論적으로

하느니 보다 實驗的으로 修正을 하는 편이 더욱 滿足 할만한 結果를 줄것이다. 數學的인 解析이란 領域에서 봄 때에는 辐射의 영향은前述한 세 가지의 無次元比以外에  $hr_1/k$ 의 函數로도 되어 있음을 알 수 있다. Stefan-Eoltzman 關係式으로부터 誘導된 辐射熱傳達係數를 이에 代入하면 辐射熱에 대한 修正項은 다음과 같은 函數形으로 나타낼 수가 있을 것이다:

$$\begin{aligned} \text{輻射에 對한 修正項} &= F_5 \left[ \left( \frac{\omega r_1^2}{\alpha} \right), \left( \frac{r_2}{r_1} \right), \left( \frac{c' \rho'}{c_p} \right), \right. \\ &\quad \left. \left( \frac{T_1}{T_2} \right), \left( \frac{\sigma F_E F_A r_1 T_2^3}{k} \right) \right] \quad (36) \end{aligned}$$

### 氣體의 比熱

以上의 分析에서 比熱을 말할 때 그것이 定壓比熱  $c_p$ 를 나타내는지 또는 定容比熱  $c_v$ 를 나타내는지를 明確히 가리지 않았었다. 事實上 즉 어느 比熱을 使用하여야 하는가를 決定的으로 総論을 내리지 못하였다. 따라서 热傳導度值을 아는 氣體를 低温에서 使用하여 白實驗(blankrun)을 함으로써 이 點을 가려낼 수 밖에는 없다.

그러나 만일 金屬線의 温度가 하나의 振動現象을 일으키던 氣體內에서는 管壁을 向하여 移動해가는 進行波가 이에 것만아 일어날 것이다. 이 波動은 加熱用交流로 60 사이클을 使用하면 1秒間に 60번 일어날것 이므로 氣體內의 進行波는 서로 매우 隣接하고 있어 全體의 滄度가 定壓下에서 일어난다고 볼 수 있다. 따라서 가장 適合한 比熱은  $c_p$ 일 것으로豫期된다.

### 結論

1. 金屬線과 管內壁間의 辐射에는 無感覺하고 热傳導度에는 充分히 銳敏한 感度를 나타내는 電氣的인 反應을 测定함으로써 高溫에서의 氣體의 热傳導度를 計算해 낼 수 있다는 것을 理論的으로 證明을 하였다. 이를 위하여 交流에나 直流電流를 併用한 热線槽을 使用할 것을 提議한다.

2. 正弦波電流 發生裝置에서 나오는 여파하지 않은 電壓波의 第3高調波 같은 것을 基準으로 하여 전 热線槽 出力 속의 第3高調波의 電壓成分의 遲相角이 高溫에서의 氣體의 热擴散度에 대하여 銳敏한 感度를 나타내는 것이 判明되었다.

3. 热線槽의 出力電波의 第3高調波成分의 振幅도 氣體의 热擴散度를 测定하는데 使用할 수 있음을 알았다.

4. 第3高調波의 振幅을 液體의 �热擴散度 测定에도 使用할 수 있을 것으로 믿어 진다.

### 後記

本研究는 筆者 在美時 콜럼비아大學校의 C.F. Bonilla 教授 指導下에서 이루어진 것이며, 特히 本人의 解析을 檢討하고 直流併用에 對한 計算을 다시 해주신 同大學의 B.L. Tarmy 氏에 對하여 深甚한 謝意를 表明하는 바이다.

### 記號說明

$E$	金屬線에서의 電壓降下
$E_2$	電壓의 第2高調波成分
$E_3$	電壓의 第3高調波成分
$F_A$	輻射形狀係數
$F_E$	表面의 非黑體係數
$I_0$	交流의 最高電流值
$I$	交流의 實效電流值
$L$	金屬線의 길이
$M$	金屬線의 热容量, $\pi r_1^2 c' \rho' L$
$N$	金屬線의 表面積, $2\pi r_1 L$
$Q'$	金屬線으로의 平均電力入量
$R$	金屬線의 電氣抵抗
$\bar{R}$	平均溫度 $\bar{T}_1$ 에서의 金屬線의 電氣抵抗
$R_o$	$0^\circ\text{C}$ 까지 外挿하여 얻은 金屬線의 電氣抗抵值 $= R/(1+st)$
$T_1$	金屬線의 絶對溫度
$T_2$	管內壁의 絶對溫度
$c$	氣體의 比熱
$c'$	金屬線의 比熱
$c_p$	定壓比熱
$c_v$	定容比熱
$h$	輻射熱傳達係數
$i$	直流電流
$k$	氣體의 热傳導度
$q_r$	金屬線으로부터 管內壁으로 辐射되어간 热量
$r$	金屬線中心으로부터 전 放射方向의 距離
$r_1$	金屬線의 半徑
$r_2$	管의 内半徑
$s$	金屬線의 電氣抵抗의 溫度係數
$t$	溫度
$\bar{t}_1$	金屬線溫度의 瞬間值
$t_2$	管內壁溫度의 瞬間值
$t_1$	金屬線의 平均溫度
$\alpha$	流體의 热擴散度
$\beta$	$\sqrt{2\omega/\alpha}$
$\gamma$	電力入量中 辐射에 依하여 發散된 热量의 分數
$A$	金屬線 出力電壓의 第3高調波成分의 入力電力

- 波로부터 뒤떨어진 位相에 있는 角度, 即 遲相角  
 $\epsilon$  温度波 基本波의 位相角  
 $\phi$  温度波 第2高調波의 位相角 또는 金屬線 出力  
 電壓의 第3高調波 成分의 位相角  
 $\theta$  時間  
 $\rho$  流體의 密度  
 $\rho'$  金屬線의 密度  
 $\sigma$  Stefan-Boltzman 定數  
 $\omega$  角速度 =  $2\pi \cdot$ (周波數)

### 無 次 元 比

$$E_2'' = \frac{E_2 \pi r_1^2 c' \rho' L \omega}{2i I^2 R^2} \left( \frac{1}{s} + i \right)$$

$$E_3'' = \frac{E_3 \pi r_1^2 c' \rho' L \omega}{2i I^2 R^2} \left( \frac{1}{s} + i \right)$$

### 引 用 文 獻

- (1) Bates, O.K., *Ind. Eng. Chem.*, **25**, 431 (1933)  
 (2) Minter, C. and Burdy, L., *Anal. Chem.*, **23**, 143 (1933).  
 (3) Daynes, H.A., Gas Analysis by Measurement of Ther-

- mal Conductivity, The University Press, Cambridge, England (1933).  
 (4) Van der Held, E.F. and Van Drunem, F.G., *physica* **15**, 865 (1949).  
 (5) Lindsay, A.L. and Bromley, L.A., Atomic Energy Commission Report UCRL-1128 (1951).  
 (6) Dittman, F.W. and Winding, C.C., *Ind. Eng. Chem.* **41**, 543 (1949).  
 (7) Glassman, I. and Bonilla, C.F., Heat Transfer Symposium, No.5, *Amer. Inst. of Chem. Engrs.*, 153-62 (1953).  
 (8) McLachlan, N.W., Bessel Functions for Engineers, Oxford University Press, Clarendon, England (1948).  
 (9) U.S. National Bureau of Standards, Tables of  $J_{0z}$  and  $J_{1z}$  for Complex Arguments, Columbia University Press (1947).  
 (10) U.S. National Bureau of Standards, Tables of  $Y_{0z}$  and  $Y_{1z}$  for Complex Arguments, Columbia University Press (1950).